

# Теория графов. Глава 6. Планарные графы.

Д. В. Карпов

29.10 - 12.11.2020

## Определение

Граф называется *планарным*, если его можно изобразить на плоскости так, чтобы его рёбра не пересекались во внутренних точках. Вершины изображаются точками, а рёбра — ломаными. Внутренние точки любой ломаной, изображающей ребро графа, не должны быть вершинами графа.

## Определение

*Плоским графом* (или *плоским изображением*) мы будем называть конкретное изображение планарного графа на плоскости без пересечений и самопересечений рёбер.

- Таким образом, планарному графу могут соответствовать разные плоские графы.

## Грань плоского графа

- Изображение плоского графа делит плоскости на части — *грани*. Это ключевой объект для плоского графа, отличающий его от абстрактного планарного графа. Ниже мы дадим формальное определение граней.

- На плоскости изображен плоский граф  $G$ . Пусть  $M$  — множество всех точек плоскости, не входящих в изображение  $G$ .

- Пусть запись  $A \sim B$  означает, что точки  $A, B \in M$  можно соединить ломаной, не пересекающей изображение графа  $G$ . Укажем три важных свойства  $\sim$ .

- **Рефлексивность.**  $A \sim A$

- **Симметричность.** Если  $A \sim B$ , то  $B \sim A$ .

- **Транзитивность.** Если  $A \sim B$  и  $B \sim C$ , то  $A \sim C$ .

- Отношение  $\sim$  с такими свойствами называется **эквивалентностью**.

- **Класс эквивалентности**  $M_A$  состоит из всех таких точек  $X \in M$ , что  $X \sim A$ .

- Для любых  $X, Y \in M_A$  выполнено  $X \sim Y$ .

**Доказательство.**  $Y \sim A \Rightarrow A \sim Y$ . Из  $X \sim A, A \sim Y$  следует  $X \sim Y$ . □

- Для любой  $X \in M_A$  выполнено  $M_X = M_A$ .

**Доказательство.** Если  $Y \in M_X$ , то  $Y \sim X \sim A$ , откуда  $Y \in M_A$ . Таким образом,  $M_X \subset M_A$ . Из  $X \sim A$  следует  $A \sim X$ , то есть,  $A \in M_X$ . Теперь аналогично получаем  $M_A \subset M_X$ . □

- Если  $A, B \in M$  таковы, что  $M_A \cap M_B \neq \emptyset$ , то  $M_A = M_B$ .

**Доказательство.** Пусть  $X \in M_A \cap M_B$ . Тогда  $M_A = M_X = M_B$ . □

- Таким образом, множество  $M$ , состоящее из всех точек плоскости, не лежащих на изображении графа  $G$ , оказывается разбито на непересекающиеся классы эквивалентности по  $\sim$ . Эти классы мы назовем *гранями*.
- Две точки из одной грани графа  $G$  могут быть соединены ломаной, не пересекающей изображение  $G$ .
- Любая ломаная, соединяющая две точки из разных граней, пересекает изображение  $G$ .

## Теорема Жордана для замкнутой ломаной

### Теорема 1

**(С. Jordan, 1887.)** Замкнутая несамопересекающаяся ломаная  $P$  делит точки плоскости, не лежащие на  $P$ , на две такие части, что выполнены следующие условия:

- (1) любые две точки из одной части можно соединить ломаной, не пересекающей  $P$ ;
- (2) любая ломаная, соединяющая две точки из разных частей, пересекает  $P$ .

**Доказательство.** • Пусть  $P_1 \dots P_m$  — вершины  $P$  в порядке обхода по часовой стрелке. Обозначим через  $M$  множество всех точек плоскости, не лежащих на  $P$ .

• Зафиксируем на прямой вектор  $\ell$ , не параллельный ни одной из сторон  $P$ . Из каждой точки  $A \in M$  выпустим луч  $\ell(A)$  в направлении  $\ell$ .

• В случае, если  $\ell(A)$  содержит вершину  $P_i$  многоугольника  $P$ , но стороны  $P_{i-1}P_i$  и  $P_iP_{i+1}$  лежат в одной полуплоскости относительно содержащей  $\ell(A)$  прямой, мы будем говорить, что многоугольник  $P$  в вершине  $P_i$  касается  $\ell(A)$ .

- Посчитаем число  $p(A)$  точек пересечения  $\ell(A)$  с  $P$ , не являющихся касаниями. Очевидно, что  $p(A)$  конечно.
- Часть  $M_0$  будет состоять из всех точек  $A \in M$ , для которых  $p(A)$  четно, а часть  $M_1$  будет состоять из всех точек  $B \in M$ , для которых  $p(B)$  нечетно.

### Утверждение

$M_0$  и  $M_1$  непусты.

**Доказательство.** • Рассмотрим прямую  $\ell_0$ , параллельную вектору  $\ell$ , и проходящую через внутреннюю точку ломаной  $P$  (то есть через, не являющуюся ее вершиной).

- При движении по  $\ell_0$  в направлении вектора  $\ell$  отметим последнее пересечение с  $\ell$  во внутренней точке — пусть это точка  $X$ .
- Рассмотрим содержащий  $X$  малый отрезок  $[Y, Z]$  на этом  $\ell_0$ , не пересекающий  $P$  в отличных от  $X$  точках, пусть  $Y$  лежит перед  $X$  при движении в направлении  $\ell$ .
- Тогда  $p(Y) = 1$  (единственное пересечение в точке  $X$ ), а  $p(Z) = 0$ .

## Утверждение

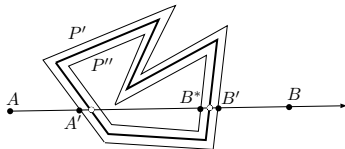
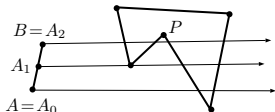
Пусть  $A, B \in M$  и отрезок  $[A, B]$  не пересекает  $P$ . Тогда  $p(A)$  и  $p(B)$  имеют одинаковую четность. В частности, выполнено условие (2).

**Доказательство.** • Если  $AB \parallel \ell$ , то утверждение очевидно.

• Если нет, то отметим на отрезке  $AB$  все такие точки  $A_1, \dots, A_k$  в направлении от  $A$  к  $B$ , что  $\ell(A_i)$  касается  $P$  (если они есть). Положим  $A_0 = A$  и  $A_{k+1} = B$ .

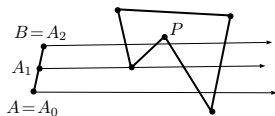
• Тогда для каждого  $i \in [0..k]$ , все точки отрезка  $[A_i, A_{i+1}]$  имеют, очевидно, одинаковое значение функции  $p$ , а при переходе на соседний отрезок функция  $p$  может иметь четный скачок (каждое касание  $\ell(A_i)$  многоугольника  $P$  добавляет точкам с одной стороны от  $A_i$  двойку к количеству пересечений, см. рис. а).

• В любом случае, на всем отрезке  $[A, B]$  функция  $p$  имеет одинаковую четность. □

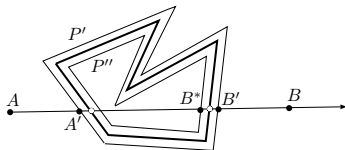


## Докажем утверждение (1).

- Пусть  $A, B \in M_i$ . Если отрезок  $[A, B]$  не пересекает  $P$ , то все понятно. Пусть пересекает, причем  $A_1$  и  $B_1$  — ближайšie к  $A$  и  $B$  соответственно точки пересечения.



а



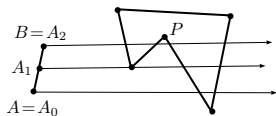
б

- Отметим на отрезке  $[A, A_1]$  точку  $A'$  очень близко к  $A_1$ , а на отрезке  $[B_1, B]$  — точку  $B'$  очень близко к  $B_1$ , пусть  $|AA'| = |BB'| = \delta$  (см. рис. б). Тогда  $\rho(A) = \rho(A')$  и  $\rho(B) = \rho(B')$ .

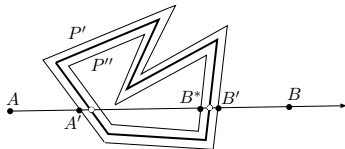
- Проведем вдоль каждой стороны многоугольника  $P$  две параллельных прямых на расстоянии  $\delta$  с разных сторон, выбрав это число столь малым, чтобы в результате получились два “очень близких” к  $P$  многоугольника  $P'$  и  $P''$  так, чтобы стороны  $P$  и  $P'$  не пересекали сторон  $P$ . (Достаточно выбрать  $\delta$  меньше, чем минимальное расстояние от стороны  $P$  до вершины, на ней не лежащей.)



- НУО  $A'$  лежит на  $P'$ . Если и  $B'$  лежит на  $P'$ , то мы построили от  $A'$  до  $B'$  ломаную, не пересекающую  $P$ , тогда такая ломаная построена и от  $A$  до  $B$ .



a



b

- Пусть  $B'$  лежит на  $P''$ , тогда обозначим через  $B^*$  точку пересечения  $P'$  с прямой  $AB$ , лежащую около  $B$  (разумеется, на расстоянии  $\delta$ ).
- Несложно понять, что  $p(B^*) - p(B') = \pm 1$  (разница состоит в том, что ровно для одной из этих точек учитывается пересечение в точке  $B_1$ ).
- Однако применив доказанное выше утверждение, получим  $p(B^*) \equiv p(A') \equiv p(A) \equiv p(B) \equiv p(B') \pmod{2}$ , противоречие.



## Плоскость и сфера

- Плоскость и сфера переводятся друг в друга *стереографической проекцией*.
- Поставим сферу на плоскость, точку касания назовём южным полюсом, противоположную точку — северным полюсом  $N$ . Каждая точка  $A \neq N$  сферы перейдёт в точку пересечения плоскости и луча  $NA$ .

### Утверждение

*Граф является планарным тогда и только тогда, когда его можно изобразить на сфере без пересечения рёбер во внутренних точках.*

**Доказательство.** • Переводя изображение графа со сферы на плоскость нужно лишь выбрать северный полюс так, чтобы он не совпадал ни с одной из вершин графа и не попадал на рёбра. □

- Плоское изображение планарного графа ограничено (его можно поместить в большой круг).
- Поэтому в плоском изображении планарного графа есть ровно одна неограниченная *внешняя грань*, которая визуально сильно отличается от всех остальных, а в сферическом изображении такой грани нет.
- Грань сферического изображения графа, содержащая северный полюс будет соответствовать при стереографической проекции внешней грани плоского изображения.
- Таким образом, перемещая северный полюс на разные грани, можно любую грань сферического изображения сделать внешней гранью в плоском изображении графа. Это лишний раз подчеркивает, что на самом деле внешняя грань не отличается от остальных.

## Граница грани

- Рассмотрим ребро  $e$  плоского графа  $G$ . Либо по разные стороны от  $e$  расположены разные грани (тогда ребро  $e$  — *граничное* ребро этих двух граней), либо по обе стороны от  $e$  — одна и та же грань, тогда назовем ребро  $e$  *внутренним* ребром этой грани. Обозначим через  $E_d$  множество всех граничных и внутренних рёбер грани  $d$ .

- Граничные и внутренние рёбра грани  $d$  — это в точности те рёбра, до которых от внутренней точки грани  $d$  можно прийти по ломаной, не пересекая изображение графа.

- *Граничные вершины* грани  $d$  — это вершины, до которых можно прийти по ломаной от внутренних точек этой грани, не пересекая её граничных и внутренних рёбер. Обозначим их множество через  $V_d$ . Концы рёбер из  $E_d$  — это вершины множества  $V_d$ .

- *Граница* грани  $d$  — это подграф  $B(d)$  графа  $G$  с множеством вершин  $V_d$  и множеством рёбер  $E_d$ .

- *Размер границы* грани  $d$  мы определим, как количество граничных рёбер этой грани плюс удвоенное количество внутренних рёбер. Обозначать эту величину будем через  $b(d)$ .

- Если сложить размеры границ всех граней, получится удвоенное количество рёбер.

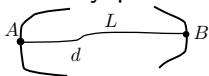
**Доказательство.** Внутреннее ребро грани два раза считается в размере границы этой грани. Граничное ребро двух граней по разу считается в их размерах. □

- Любые две точки на границе грани  $d$  можно соединить ломаной, проходящей в  $d$ .

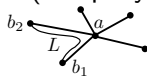
**Доказательство.** Пусть  $A$  — внутренняя точка грани  $d$ . От нее можно провести ломаные, не пересекающие изображение  $G$  до любых двух граничных. Все точки на этих ломаных лежат в  $d$ . □

- Если две точки  $A$  и  $B$  на изображении графа  $G$  можно соединить ломаной  $L$ , не пересекающей изображения  $G$ , то  $A$  и  $B$  лежат на границе некоторой грани.

**Доказательство.**  $A$  и  $B$  лежат на границе грани  $d$ , содержащей все внутренние точки  $L$  (см. рисунок а). □



а



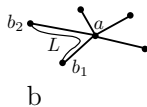
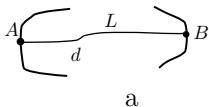
б

## Определение

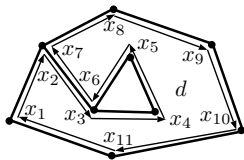
Рассмотрим любую вершину  $a$  плоского графа  $G$  и упорядочим выходы ребер из  $a$  по часовой стрелке. Два ребра, выходы которых — соседние в этом порядке, будем называть *соседними в вершине  $a$* .

- Пусть  $ab_1$  и  $ab_2$  — два соседних ребра в вершине  $a$ . Тогда рёбра  $ab_1$  и  $ab_2$  лежат в границе некоторой грани.

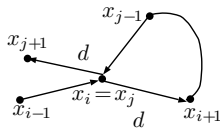
**Доказательство.** вершины  $b_1$  и  $b_2$  можно соединить ломаной вдоль  $b_1ab_2$ , не пересекающей изображения  $G$  (см. рисунок б). Поэтому, рёбра  $ab_1$  и  $ab_2$  лежат в границе некоторой грани. □



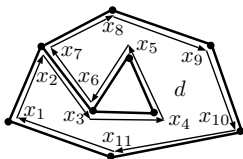
- Пусть  $G$  — плоский граф,  $d \in F(G)$ , а  $x_1x_2 \in E_d$ .
- Пройдем по ребру  $x_1x_2$  от  $x_1$  к  $x_2$ . НУО справа по ходу движения расположена грань  $d$ . Повернем в вершине  $x_2$  направо до выхода соседнего ребра  $x_2x_3$ . (Если  $d_G(x_2) = 1$ , то  $x_3 = x_1$ , это нам не мешает.) Очевидно,  $x_2x_3 \in E_d$ . Пойдем по этому ребру от  $x_2$  к  $x_3$ , справа опять будет расположена грань  $d$ . И так далее. В конечном итоге мы вернемся на ребро  $x_1x_2$  (в вершину  $x_1$  мы можем вернуться и раньше!). Получился замкнутый циклический маршрут (см. рис. а).



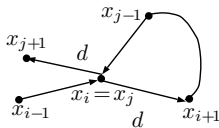
а



б



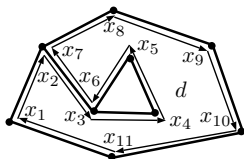
a



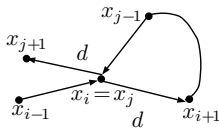
b

- Пусть получился циклический маршрут  $Z = x_1 x_2 \dots x_k$ . Рассмотрим вершину  $x_i$ . по построению,  $Z$  обходит вокруг  $x_i$  — скажем, против часовой стрелки. Пусть мы вышли из вершины  $x_i$  по ребру  $x_i x_{i+1}$ , а следующий раз вернулись в эту вершину по ребру  $x_{j-1} x_j$  (в этом случае  $x_i = x_j$ , см. рис. b).
- Тогда сектор между выходами рёбер  $x_i x_{i+1}$  и  $x_j x_{j-1}$  из вершины  $x_i = x_j$  не принадлежит грани  $d$ . Следовательно,  $Z$  проходит все рёбра из  $E_d$ , инцидентные вершине  $x_i$ . Поскольку это верно для любой вершины  $Z$ , этот маршрут обходит все рёбра одной из компонент графа  $B(d)$ .
- Обозначим через  $Z(U)$  такой маршрут для компоненты  $U$ , а через  $Z(d)$  — объединение построенных маршрутов для всех компонент  $B(d)$ .





a



b

- Если маршрут  $Z(d)$  проходит ребро  $e$  дважды, то, очевидно, в разных направлениях. Значит, по обе стороны от  $e$  расположена грань  $d$ , то есть  $e$  — внутреннее ребро  $d$ .
- Пусть  $e$  — внутреннее ребро грани  $d$  (см. ребро  $x_2x_3 = x_6x_7$  на рисунке). Тогда при проходе по  $e$  в любом из направлений справа будет расположена грань  $d$ . Поэтому, маршрут  $Z(d)$  дважды пройдет  $e$  — в обоих направлениях.

## Лемма 1

Для плоского графа  $G$  выполнены следующие утверждения.

- 1) Если  $d \in F(G)$  и  $B(d)$  несвязна, то разные компоненты связности графа  $B(d)$  лежат в разных компонентах связности графа  $G$ .
- 2) Граф  $G$  несвязен, если и только если он имеет грань с несвязной границей.

**Доказательство.** 1) • Пусть  $B_1$  и  $B_2$  — две компоненты  $B(d)$ . Изображение компоненты  $B_1$  ограничено и не пересекает других компонент  $B(d)$ . Следовательно, изображение  $B_1$  можно отделить от изображения  $B_2$  замкнутой ломаной в грани  $d$ , не пересекающей ребер  $G$  (такую ломаную можно построить, почти повторив маршрут  $Z(B_1)$ : вместо каждого прохода по ребру, проведем его копию на малом расстоянии  $\delta$  в грани  $d$ , как в доказательстве теоремы Жордана).

• Значит, между  $B_1$  и  $B_2$  нет пути в графе  $G$ .

2) Очевидно, можно обойти все грани графа  $G$ , каждый раз переходя в грань имеющую с предыдущей общую сторону или вершину (достаточно отметить по внутренней точке на каждой грани и проложить на плоскости маршрут, все эти точки обходящий).

- Тогда, если граница каждой грани связна, то связно и их объединение, а это граф  $G$ , противоречие. Значит, несвязный граф имеет грань с несвязной границей.
- Если  $G$  имеет грань с несвязной границей, то  $G$  несвязен по пункту 1. □



### Лемма 3

*Пусть  $d$  — грань реберно двусвязного графа  $G$ . Тогда  $B(d)$  — цикл (не обязательно простой).*

**Доказательство.** • Так как  $G$  связан,  $B(d)$  — связный граф по Лемме 1. Значит, и  $Z(d)$  связан. Так как внутренних рёбер у  $d$  нет (граф не имеет мостов),  $Z(d)$  — цикл. □

## Лемма 4

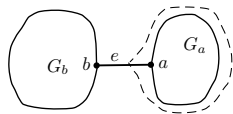
Пусть  $G$  — плоский граф.

1) Если грань  $d$  и ее граничная вершина  $a$  таковы, что  $B_1$  и  $B_2$  — разные компоненты графа  $B(d) - a$ , то  $B_1$  и  $B_2$  лежат в разных компонентах графа  $G - a$ . В частности,  $a$  — точка сочленения графа  $G$ .

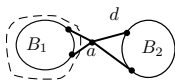
2) Граф  $G$  без петель вершинно двусвязен, если и только если границы его граней — простые циклы.

**Доказательство.** 1) Аналогично доказательству Леммы 1, плоское изображение  $B_1$  можно отделить от изображения  $B_2$  ломаной, не пересекающей ребер  $G - a$  (см. рис. b), а значит, между  $B_1$  и  $B_2$  нет ребер в графе  $G - a$ .

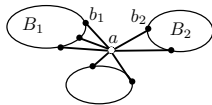
• Следовательно,  $a$  — точка сочленения графа  $G$ .



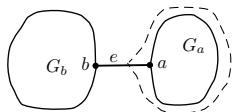
a



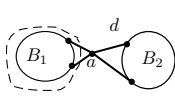
b



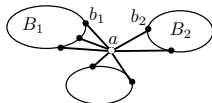
c



a



b



c

2) • Пусть  $a$  — точка сочленения графа  $G$ . Рассмотрим плоское изображение несвязного графа  $G - a$ , полученное из  $G$  удалением вершины  $a$ .

- В силу Леммы 1 граф  $G - a$  имеет несвязную грань  $d$ , а граф  $G$  не имеет. Значит,  $a$  лежит на грани  $d$  и смежна со всеми компонентами ее границы.
- Упорядочим выходы ребер из  $a$  по часовой стрелке. Тогда есть два соседних ребра, выходящих к разным компонентам графа  $B(d)$  — скажем, ребро  $ab_1$  к компоненте  $B_1$  и ребро  $ab_2$  к компоненте  $B_2$  (см. рис. c).
- Точка сочленения  $a$  отделяет  $b_1$  от  $b_2$  в графе  $G$ . Существует грань  $f$  графа  $G$ , граница которой содержит  $a$ ,  $b_1$  и  $b_2$ . Тогда  $a$  — точка сочленения  $B(f)$ .
- Наоборот, если грань  $d$  такова, что  $B(d)$  имеет точку сочленения, то по пункту 1 граф  $G$  также имеет точку сочленения.

## Формула Эйлера

- В разных плоских изображениях планарного графа  $G$  могут получаться разные грани. Однако их количество является инвариантом графа, как говорит нам формула Эйлера.

### Теорема 2

**(L. Euler, 1752.)** Пусть  $G$  — плоский граф с  $v$  вершинами,  $e$  рёбрами и  $f$  гранями, имеющий  $k$  компонент связности. Тогда  $v - e + f = 1 + k$ .

**Доказательство.** Индукцией по количеству рёбер.

**База** для случая, когда граф  $G$  — лес, очевидна: в этом случае  $f = 1$ ,  $e = v - k$ .

**Переход** • Пусть для меньших графов формула Эйлера уже доказана и  $G$  — не лес.

- Тогда в графе есть цикл, пусть ребро  $\ell$  входит в цикл. Так как  $\ell$  — не мост, по ребру  $\ell$  граничат две разные страны, которые объединяются в одну в графе  $G - \ell$ .
- Таким образом, в графе  $G - \ell$   $v$  вершин,  $k$  компонент,  $e - 1$  ребро и  $f - 1$  страна. Теперь формула Эйлера для  $G$  следует из формулы Эйлера для  $G - \ell$ , которая верна по индукционному предположению.



- Мы будем обозначать количество вершин, рёбер и граней плоского графа  $G$  буквами  $v$ ,  $e$  и  $f$  соответственно.

## Следствие 1

Пусть  $G$  — планарный граф без петель и кратных рёбер,  $v \geq 3$ . Тогда выполняются следующие утверждения.

- 1)  $e \leq 3v - 6$ .
- 2) Если граф  $G$  — двудольный, то  $e \leq 2v - 4$ .

**Доказательство.** 1) • Докажем, что размер границы каждой грани графа  $G$  не менее 3. В самом деле, пусть  $d \in F(G)$ ,  $b(d) \leq 2$ .

- Так как петель и кратных рёбер нет,  $B(d)$  не имеет циклов. Следовательно, все рёбра внутренние. Тогда такое ребро всего одно, а значит,  $e = 1$  и утверждение очевидно.
- Сумма размеров границ всех граней равна  $2e$ , а размер каждой границы не менее 3. Следовательно,  $2e \geq 3f$  или  $f \leq \frac{2e}{3}$ .
- Тогда из формулы Эйлера  $v - \frac{e}{3} = v - e + \frac{2e}{3} \geq v - e + f \geq 2$ , откуда следует доказываемое неравенство.

2) • Докажем, что размер границы каждой грани двудольного графа  $G$  не менее 4.

• В самом деле, пусть  $d \in F(G)$ ,  $b(d) \leq 3$ . Поскольку в двудольном графе нет циклов длины 3, и в  $G$  нет кратных рёбер, все рёбра внутренние. Тогда такое ребро всего одно, а значит,  $e = 1$  и утверждение очевидно.

• Сумма размеров границ всех граней равна  $2e$ , а размер каждой границы не менее 4. Следовательно,  $f \leq \frac{e}{2}$ .

• Тогда из формулы Эйлера

$v - \frac{e}{2} = v - e + \frac{e}{2} \geq v - e + f \geq 2$ , откуда следует доказываемое неравенство. □

## Следствие 2

*Пусть  $G$  — планарный граф без петель и кратных рёбер. Тогда  $\delta(G) \leq 5$ .*

**Доказательство.** • В случае  $v \leq 2$  утверждение очевидно.

• Пусть  $v \geq 3$  и при этом  $\delta(G) \geq 6$ . Тогда  $6v \leq 2e$ , то есть,  $e \geq 3v$  — противоречие со Следствием 1. □

## Следствие 3

$K_5$  и  $K_{3,3}$  — непланарные графы.

**Доказательство.** 1) Пусть  $K_5$  планарен. Для этого графа  $v = 5$ ,  $e = 10$ . По пункту 1 следствия 1 мы имеем  $10 = e \leq 3v - 6 = 9$ , что неверно.

2) Пусть  $K_{3,3}$  планарен. Для этого двудольного графа  $v = 6$ ,  $e = 9$ . По пункту 2 следствия 1 мы имеем  $9 = e \leq 2v - 4 = 8$ , что неверно. □



Рис.: Подразбиение графа.

## Определение

Граф  $H'$  называется *подразбиением* графа  $H$ , если  $H'$  может быть получен из  $H$  заменой некоторых рёбер на простые пути (каждое заменяемое ребро  $xy$  меняется на простой  $xy$ -путь). При этом, все добавляемые вершины различны и имеют степень 2.

## Следствие 4

- 1) Подразбиение графа  $H$  планарно, если и только если  $H$  планарен.
- 2) Любое подразбиение графа  $K_5$  или  $K_{3,3}$  непланарно.

**Доказательство.** 1) Изображение как ребра, так и простого пути — ломаная.

2) Следует из пункта 1 и Следствия 3. □

## Теорема 3

(К. Kuratowski, 1930) Граф  $G$  (возможно, имеющий кратные рёбра и петли) непланарен, если и только если  $G$  имеет подграф, являющийся подразбиением  $K_5$  или  $K_{3,3}$ .

## Грани трёхсвязного графа

### Определение

- Цикл  $C$  графа  $G$  — *неразделяющий*, если граф  $G - V(C)$  связан.
- Цикл  $C$  — *индуцированный*, если он не имеет хорд (то есть, является индуцированным подграфом на своем множестве вершин).

### Лемма 5

Пусть  $G$  — трёхсвязный плоский граф. Тогда множество границ его граней есть в точности множество его *неразделяющих индуцированных циклов*.

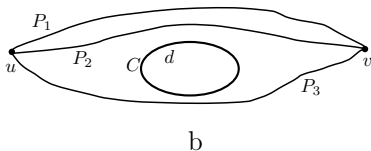
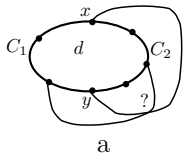
**Доказательство.**  $\Leftarrow$ . Пусть  $C$  — неразделяющий индуцированный цикл в  $G$ . Тогда в одной из областей, на которые  $C$  делит плоскость — назовём ее  $d$  — нет вершин графа  $G$ . Так как индуцированный цикл  $C$  не имеет диагоналей, внутри  $d$  рёбер тоже нет. Значит  $d$  — грань, а цикл  $C$  — её граница.

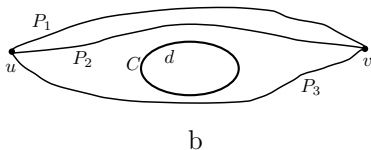
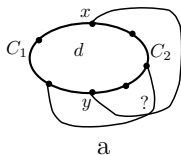
⇒. • Пусть  $C$  — граница грани  $d$  графа  $G$ . Тогда  $C$  — простой цикл.

• Предположим, что  $C$  имеет диагональ  $xu$ . Вершины  $x$  и  $u$  делят цикл  $C$  на две дуги  $C_1$  и  $C_2$ .

• Граф  $G - x - u$  должен быть связан ввиду трёхсвязности графа  $G$ . Значит, в  $G - x - u$  есть  $C_1C_2$ -путь  $P$ .

• Понятно, что и диагональ  $xu$ , и путь  $P$  должны проходить вне грани  $d$ , но тогда они пересекаются (см. рис. а), что невозможно.





- Докажем, что граф  $G - V(C)$  связан.
- Пусть  $u, v \in V(G) \setminus V(C)$ . По теореме Уитни в трёхсвязном графе  $G$  существуют три независимых  $uv$ -пути  $P_1, P_2$  и  $P_3$ , которые делят плоскость на три области.
- Грань  $d$  лежит в одной из этих областей, пусть это область, граница которой образована путями  $P_2$  и  $P_3$  (см. рис. b). Тогда  $P_1$  не пересекается с границей грани  $d$  — циклом  $C$  — а значит, вершины  $u$  и  $v$  связаны в  $G - V(C)$ .
- Таким образом, граница грани графа  $G$  является индуцированным неразделяющим циклом.



## Разные изображения одного графа. Изоморфизм

- Слева и справа на рисунке — плоские изображения одного и того же графа. Но это разные изображения! У правого изображения есть грань, в границе которой 6 вершин, а у левого — нет.



### Определение

Пусть  $G$  и  $G'$  — два плоских графа, а биекция  $\varphi : V(G) \rightarrow V(G')$  удовлетворяет следующим условиям.

- (1)  $xu \in E(G) \iff \varphi(x)\varphi(y) \in E(G')$ ;
- (2)  $U \subset V(G)$  является множеством граничных вершин некоторой грани графа  $G$ , если и только если  $\varphi(U) = \{\varphi(x) : x \in U\}$  является множеством граничных вершин некоторой грани графа  $G'$ .

Тогда  $\varphi$  — *изоморфизм плоских графов*  $G$  и  $G'$ , а сами эти плоские графы *изоморфны*.



## Теорема 4


(Н. Whitney, 1933.) Любые два плоских изображения трёхсвязного графа  $G$  изоморфны как плоские графы.

**Доказательство.** • Пусть  $G_1$  и  $G_2$  плоские изображения  $G$ , причем  $x_1 \in V(G_1)$  и  $x_2 \in V(G_2)$  — изображения вершины  $x \in V(G)$ .

• Определим отображение  $\varphi : V(G_1) \rightarrow V(G_2)$  так:  $\varphi(x_1) = x_2$  для любой вершины  $x_1 \in V(G_1)$ . Очевидно,  $x_1 y_1 \in E(G_1) \iff x y \in E(G) \iff \varphi(x_1) \varphi(y_1) = x_2 y_2 \in E(G_2)$ .

• По лемме 5 границы граней плоского графа  $G_1$  — это в точности неразделяющие индуцированные циклы графа  $G_1$ , а границы граней плоского графа  $G_2$  — это в точности неразделяющие индуцированные циклы  $G_2$ . Это свойство не имеет отношения к плоскому изображению.

•  $U_1 \subset V(G_1)$  — множество вершин неразделяющего индуцированного цикла в  $G_1$  (то есть, границы грани  $G_1$ )  
 $\iff U \subset V(G)$  множество вершин неразделяющего индуцированного цикла в  $G$   $\iff \varphi(U_1) = U_2 \subset V(G_2)$  — множество вершин неразделяющего индуцированного цикла в  $G_2$  (то есть, границы грани  $G_2$ ).

• Следовательно,  $\varphi$  — изоморфизм плоских графов. 

## Триангуляции

### Определение

- 1) Будем называть грань *треугольником*, если ее граница — это треугольник.
  - 2) Плоский граф называется *триангуляцией*, если каждая его грань — треугольник. Кратные рёбра и петли запрещены.
  - 3) *Триангулировать* плоский граф значит провести в нём дополнительные рёбра так, чтобы получилась триангуляция.
- По Лемме 4 триангуляция — двусвязный граф.

### Лемма 6

Пусть  $G$  — плоский граф без петель и кратных рёбер,  $v(G) \geq 3$ . Тогда  $G$  можно триангулировать.

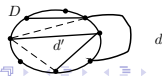
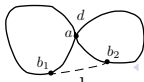
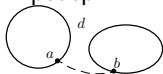
**Доказательство.** Пусть  $G$  — не триангуляция.

Рассмотрим три случая и в каждом из них объясним, как добавить ребро.



### Случай 3: $G$ двусвязен.

- Пусть грань  $d$  — не треугольник. По Лемме 4 граница грани  $d$  — простой цикл  $D$  длины  $k \geq 4$ .
- НУО  $d$  — внешняя область цикла  $D$ . Предположим, что во внутренней области  $d'$  проведены какие-либо диагонали цикла  $D$  — назовем их *красными* (см. рис. справа, сплошные линии внутри цикла).
- Красные диагонали не пересекаются. Они разбивают  $d'$  на меньшие области, в каждой из которых не менее трёх вершин. Если в какой-то из них более трёх вершин, мысленно триангулируем ее новыми красными диагоналями произвольно (пунктирные линии внутри цикла на рис. справа).
- Теперь красных диагоналей ровно  $k - 3$  (несложно понять, что  $k$ -угольник триангулируется ровно на  $k - 2$  треугольника  $k - 3$  диагоналями).
- Так как есть  $\frac{k(k-3)}{2}$  диагоналей  $D$ , можно провести в  $d$ , концы которой не совпадают с красной диагональю, в результате количество рёбер увеличится и не получится кратных рёбер.



- Пусть у триангуляции  $T$   $2n$  граней, тогда у нее  $3n$  рёбер. По формуле Эйлера  $v = n + 2$ . Тогда  $e(T) = 3v(T) - 6$ .
- Мы знаем, что для любого плоского графа  $G$  выполнено  $e(G) = 3v(G) - 6$ . Таким образом, триангуляция — максимальный плоский граф, в котором нельзя дорисовать без пересечений ни одного нового ребра.

## Лемма 7

В любой триангуляции  $T$  есть ребро  $e$ , входящее ровно в два треугольника — в две грани, граничащие по  $e$ .

**Доказательство.** • Любое ребро  $f \in E(T)$  входит в две грани, и эти грани граничат только по  $f$  (иначе в  $T$  есть пара кратных рёбер). Значит, нам достаточно найти ребро  $e$ , не входящее в *разделяющий* треугольник — такой, что в обеих частях плоскости относительно него есть вершины графа.

- Если в  $T$  нет разделяющего треугольника, то утверждение очевидно — нам подойдет любое ребро.
- Предположим, что разделяющие треугольники есть и рассмотрим такой разделяющий треугольник  $abc$ , что внутри него нет других разделяющих треугольников.
- Однако внутри  $abc$  есть вершины а значит, есть и ребро  $e$ . Тогда ребро  $e$  не может входит в разделяющий треугольник, так как такой треугольник содержался бы внутри  $abc$ , что противоречит выбору  $abc$ .

## Изображение с прямыми рёбрами

### Теорема 5

**(К. Wagner, 1936.)** Пусть  $G$  — планарный граф без кратных рёбер. Тогда существует плоское изображение  $G$ , в котором все рёбра — отрезки.

**Доказательство.** • Будем доказывать утверждение индукцией по количеству вершин графа, база для графа на одной вершине очевидна.

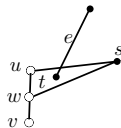
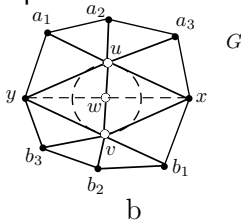
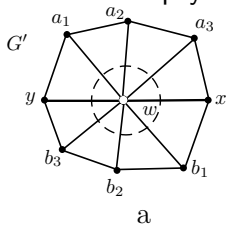
• Достаточно доказать теорему для случая, когда  $G$  — триангуляция, так как по Лемме 6 любой граф можно триангулировать без появления кратных рёбер. Будем доказывать, что можно выпрямить триангуляцию, тогда будет выпрямлен и исходный граф.

• По Лемме 7 выберем ребро  $e = uv \in E(G)$  так, чтобы оно входило ровно в два треугольника — грани  $xiv$  и  $uiv$ .

• Тогда  $G' = G \cdot uv$  — триангуляция с плоским изображением, в котором “сжаты” грани  $xiv$  и  $uiv$ , а остальные грани — такие же, как в  $G$ . Кратных рёбер в  $G'$  нет.

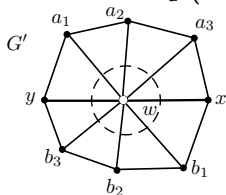
• По индукционному предположению, существует изображение  $G'$  с прямыми рёбрами. Далее рассматриваем его.

- Упорядочим вершины из  $N_G(u)$  в порядке выхода их рёбер из  $u$  по часовой стрелке:  $x, v, y, a_1, \dots, a_k$ . Так как  $G$  – триангуляция, любые две соседние в этом порядке вершины вместе с  $u$  образуют треугольную грань.
- Упорядочим вершины из  $N_G(v)$  в порядке выхода их рёбер из  $v$  по часовой стрелке:  $y, u, x, b_1, \dots, b_m$ . Так как  $G$  – триангуляция, любые две соседние в этом порядке вершины вместе с  $v$  образуют треугольную грань.
- Тогда в графе  $G'$  вершины из  $N_{G'}(w)$  будут упорядочены по часовой стрелке в порядке выходов рёбер из  $w$  так:  $y, a_1, \dots, a_k, x, b_1, \dots, b_m$  (рис. а). Любые две соседние (по выходу ребра из  $w$ ) вершины образуют вместе с  $w$  треугольную грань.

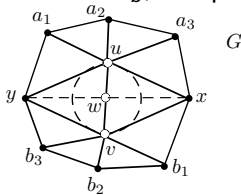




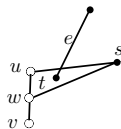
- Найдем минимум расстояний между вершинами в  $G'$ , а также минимум расстояний от вершин до не инцидентных им рёбер (напомним, что рёбра — это отрезки). Пусть  $d$  — наименьший из этих минимумов. Очевидно,  $d > 0$ .
- Проведем окружность  $S$  радиуса  $\delta = \frac{d}{2}$  с центром  $w$ . Понятно, что внутри  $S$  вершин графа  $G'$  нет и пересекают эту окружность только рёбра с концом в  $w$ .
- Ломаная  $xw$  делит многоугольник  $P = xa_1 \dots a_k y b_1 \dots b_m$  на два многоугольника:  $P_a$ , содержащий  $a_1, \dots, a_k$  и  $P_b$ , содержащий  $b_1, \dots, b_m$ .
- Проведем диаметр  $uv$  окружности  $S$  так, чтобы  $x$  и  $y$  лежали по разную сторону от соответствующей прямой и  $u$  лежала в  $P_a$  (тогда  $v$  лежит в  $P_b$ , см. рис. b).

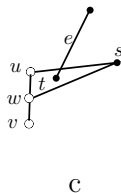
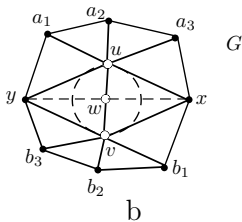
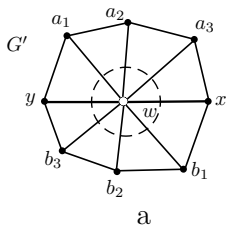


a



b



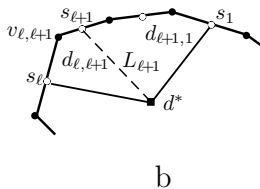
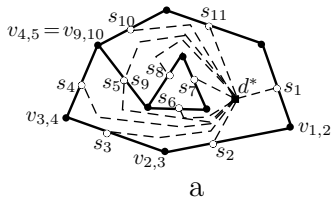


- Удалим все рёбра, инцидентные  $w$ , из графа. Теперь проведем отрезки от  $u$  до  $x, y, a_1, \dots, a_k$  и от  $v$  до  $x, y, b_1, \dots, b_m$  (см. рис. b). Очевидно, никакие два проведенных отрезка не пересекают друг друга.
- Остается доказать, что проведенные отрезки не пересекают других рёбер графа  $G$ .
- Пусть, скажем, ребро  $us$  пересекает какое-то другое ребро  $e$  (см. рис. c). Стороны  $sw$  и  $wu$  треугольника  $swu$  не могут пересекать  $e$ . Следовательно, один из концов  $e$  — назовем его  $t$  — лежит в треугольнике  $swu$ . Но тогда  $t$  лежит в  $L$  и расстояние от  $t$  до отрезка  $sw$ , очевидно, меньше  $|uw| = \frac{\delta}{2}$ , противоречие.

## Лемма 8

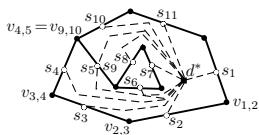
Пусть  $G$  — связный плоский граф,  $d \in F(G)$ , Пусть  $k = b(d)$ , а  $e_1 \dots e_k$  — рёбра из  $E_d$  в порядке циклического обхода  $Z(d)$  (нумерация — циклическая по модулю  $k$ , внутренние рёбра грани  $d$  встречаются в этой нумерации дважды).

Отметим точку  $d^*$  на грани  $d$  и по точке  $s_i$  на каждом ребре  $e_i$ . Тогда в грани  $d$  можно провести ломаные  $L_1, \dots, L_k$  без общих внутренних точек, соединяющие  $d^*$  с  $s_1, \dots, s_k$  соответственно. При этом, циклический порядок выходов ломаных в точке  $d^*$  будет  $L_1, \dots, L_k$  (см. рис. а).

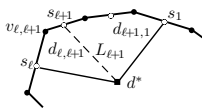


**Доказательство.** Рассмотрим отдельно от всего графа грань  $d$  и добавим вершины  $s_1, \dots, s_k, d^*$ .

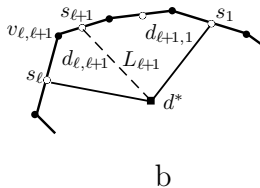
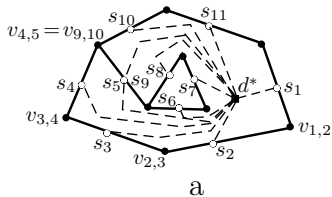
- Внутреннюю точку  $d^*$  грани  $d$  можно соединить ломаной  $L_1$  в грани  $d$  с точкой  $s_1$  на границе грани. Далее пусть  $k \geq 2$ .
- Так как добавленное ребро  $L_1 = d^*s_1$  — мост, это внутреннее ребро полученной грани  $d_0$ , в границу которой добавилась вершина  $d^*$ .
- Пусть  $v_{i,i+1}$  — вершина, в которой обход  $Z(d)$  переходит с ребра  $e_i$  на ребро  $e_{i+1}$ .
- Докажем индукцией по  $2 \leq \ell \leq k$ , что можно провести в грани  $d$  описанные выше ломаные  $L_1, L_2, \dots, L_\ell$  так, что грань  $d$  будет разбита на грани  $d_{1,2}, \dots, d_{\ell,1}$ , причем границу  $d_{i,i+1}$  образуют ломаные  $L_i$  и  $L_{i+1}$ , а также участок циклического обхода  $Z(d)$  между  $s_i$  и  $s_{i+1}$ , содержащий  $v_{i,i+1}$ . Границу грани  $d_{\ell,1}$  образуют ломаные  $L_\ell$  и  $L_1$ , а также участок циклического обхода  $Z(d)$  между  $s_\ell$  и  $s_1$ , содержащий  $v_{\ell,\ell+1}$ .



a



b

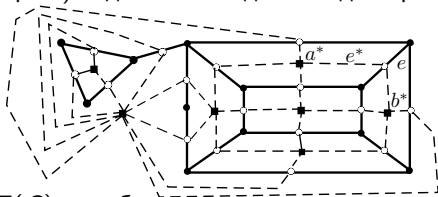


**База** для  $\ell = 2$  очевидна — в грани  $d_0$  можно провести ломаную  $L_2$ , соединяющую граничные точки  $d^*$  и  $s_2$ . В результате ломаная  $L_2L_1$  разобьет  $d$  на две части  $d_{1,2}$  и  $d_{2,1}$ , очевидно, обладающие нужными свойствами.

**Переход**  $\ell \rightarrow \ell + 1$ . Рассмотрим грань  $d_{\ell,1}$ . На ее границе лежат точки  $d^*$  и  $s_{\ell+1}$ , которые можно соединить в грани  $d_{\ell,1}$  ломаной  $L_{\ell+1}$  (см. рис. b). В результате грань  $d_{\ell,1}$  будет разбита этой ломаной на две грани  $d_{\ell,\ell+1}$  и  $d_{\ell+1,1}$  с нужными свойствами. □

## Двойственный граф

- Пусть  $G$  — связный плоский граф. Вершины *двойственного графа*  $G^*$  будут соответствовать граням графа  $G$ : внутри каждой грани  $a$  графа  $G$  мы отметим соответствующую ей вершину  $a^*$  графа  $G^*$ . Будем говорить, что вершина  $a^*$  *двойственна* грани  $a$ .
- Зафиксируем на каждом ребре графа  $G$  по точке, которую назовём *серединой* этого ребра. Точку  $a^*$  можно соединить внутри грани  $a$  непересекающимися ломаными с серединами всех входящих в границу грани  $a$  рёбер, как описано в Лемме 8 (см. рис.). Сделаем так для каждой грани графа  $G$ .



- Пусть  $e \in E(G)$  — ребро, по которому граничат две грани  $a$  и  $b$  графа  $G$  (возможно,  $a = b$ ). Ему будет соответствовать ребро  $e^*$  двойственного графа  $G^*$ , соединяющее двойственные граням  $a$  и  $b$  вершины  $a^*$  и  $b^*$  и проходящее через середину ребра  $e$ . Назовём ребро  $e^*$  *двойственным к*  $e$ .

- Если грани  $a$  и  $b$  совпадают (или, что равносильно, ребро  $e$  — мост), то  $e^*$  — петля.
  - Вершины  $a^*, b^* \in V(G^*)$  оказываются соединены таким количеством рёбер, сколько общих рёбер имеют границы граней  $a$  и  $b$ .
  - Таким образом, существует естественная биекция между рёбрами  $G$  и рёбрами  $G^*$  (каждому ребру графа  $G$  ставится в соответствие двойственное). Следовательно,  $e(G) = e(G^*)$ .
  - Граф  $G^*$  зависит не только от графа  $G$ , но и от изображения этого графа на плоскости, потому мы определяем  $G^*$  для плоского графа  $G$ . Для разных плоских изображений одного планарного графа могут получиться неизоморфные двойственные графы.
  - Двойственный граф не зависит ни от того, какие точки мы выберем внутри граней исходного графа  $G$ , ни от того, какие точки мы назовем серединами рёбер.
- Нетрудно доказать, что получатся изоморфные плоские графы.

• Итак, вершины графа  $G^*$  соответствуют граням графа  $G$ , а рёбра графа  $G^*$  соответствуют рёбрам графа  $G$ . Чему в  $G$  соответствуют грани  $G^*$ ?

### Лемма 9

*Пусть  $G$  — связный плоский граф. Тогда существует биекция между  $V(G)$  и  $F(G^*)$ , которая ставит в соответствии каждой вершине  $a \in V(G)$  грань  $a^* \in F(G^*)$ , содержащую  $a$ .*

**Доказательство.** • Рассмотрим грань  $a^* \in F(G^*)$  и докажем, что на ней изображена хотя бы одна вершина графа  $G$ .

• Рассмотрим ребро  $e^* \in E_{a^*}$ . По построению оно пересекает ребро  $e$  графа  $G$ . Следовательно, часть изображения ребра  $e$  лежит в грани  $a^*$ . По построению  $e$  пересекает ровно одно ребро графа  $G^*$  и ровно один раз, следовательно, хотя бы один конец  $e$  ( $a$  это вершина графа  $G$ ) лежит в  $a^*$ .

• Нам известно, что  $f(G) = v(G^*)$ ,  $e(G) = e(G^*)$ . По формуле Эйлера,  $v(G) + f(G) - e(G) = 2 = v(G^*) + f(G^*) - e(G^*)$ , откуда следует, что  $f(G^*) = v(G)$ .

• Значит, на каждой грани  $a^*$  плоского графа  $G^*$  лежит ровно одна вершина графа  $G$ , которую мы и обозначим через  $a$ .  $\square$

В обозначениях Леммы 9 мы будем говорить, что вершина  $a \in V(G)$  и грань  $a^* \in F(G^*)$  **двойственны друг другу**.



## Раскраски карт

- Карта — связный плоский граф без мостов. Его грани иногда называют *странами*.
- Раскраска граней плоского графа  $G$  называется *правильной*, если две грани, имеющие общее ребро, покрашены в разные цвета.
- Для плоского графа  $G$  мы будем обозначать через  $\chi^*(G)$  минимальное количество цветов, для которого существует правильная раскраска граней графа  $G$ .
- Нетрудно понять, что правильные раскраски граней плоского графа  $G$  взаимно однозначно соответствуют правильным раскраскам вершин двойственного графа  $G^*$ . Поэтому  $\chi^*(G) = \chi(G^*)$  и  $\chi(G) = \chi^*(G^*)$ .
- **Гипотеза четырёх красок. (F. Guthrie, 1852.)**  
Страны любой карты можно правильным образом покрасить в 4 цвета.
- 4CC эквивалентна следующему утверждению:  $\chi(G) \leq 4$  для любого планарного графа  $G$  без петель.

## Теорема о 5 красках

### Теорема

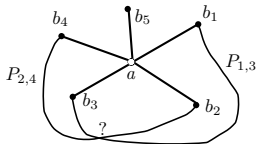
(Ф. Кемпе, 1879.) Для любого планарного графа  $G$   
 $\chi(G) \leq 5$ .

**Доказательство.** • Индукция по  $v(G)$ , база для случая  $v(G) \leq 5$  очевидна. По Следствию 2 граф  $G$  имеет вершину  $a$  степени не более 5.

• Граф  $G - a$  также планарен и по индукционному предположению мы знаем, что  $\chi(G - a) \leq 5$ . Пусть  $\rho$  — правильная раскраска вершин  $G - a$  в 5 цветов.

• Если вершины из  $N_G(a)$  покрашены не более чем в 4 цвета, мы можем докрасить вершину  $a$  и получить правильную раскраску вершин  $G$ .

• Остается случай, когда  $\rho$  красит  $N_G(a)$  в 5 цветов. Тогда  $d_G(a) = 5$ , пусть  $N_G(a) = \{b_1, b_2, b_3, b_4, b_5\}$ , причем соседи упорядочены по выходу рёбер из  $a$  (по часовой стрелке). Не умаляя общности, можно считать, что  $\rho(b_i) = i$  для всех  $i \in [1..5]$ .



- Пусть  $G_{1,3}$  — индуцированный подграф  $G$  —  $a$  на вершинах цветов 1 и 3, а  $U$  — его компонента связности, содержащая  $b_1$ . Если во всех вершинах  $U$  поменять местами цвета 1 и 3, раскраска останется правильной, а  $b_1$  будет покрашена в цвет 3.
- Если в новой раскраске невозможно докрасить вершину  $a$ , в ее окрестности должен остаться цвет 1 — но в него может быть покрашена только вершина  $b_3$  и только в случае  $b_3 \in U$ .
- Значит, достаточно рассмотреть случай, когда вершины  $b_1$  и  $b_3$  соединены путём  $P_{1,3}$  по вершинам цветов 1 и 3 (см. рисунок).
- Аналогично, достаточно рассмотреть случай, когда вершины  $b_2$  и  $b_4$  соединены путём  $P_{2,4}$  по вершинам цветов 2 и 4. Тогда пути  $P_{1,3}$  и  $P_{2,4}$  должны пересекаться, что, очевидно, невозможно.